

## Přehledný referát

---

### SLINOVANIE MgO

ŠTEFAN PALČO

*Výskumný ústav hutnickej keramiky, Februárového víťazstva 71, 832 49 Bratislava*

#### ÚVOD

Súčasné metódy výroby ocele vyvolali prudké zvýšenie požiadaviek na kvalitu žiaruvzdorných materiálov. Týka sa to aj bázických materiálov, ktorých hlavnou zložkou je slinutá magnézia. Vysoká trvanlivosť žiaruvzdorných materiálov v službe je daná hlavne ich chemickým zložením a pórovitosťou. Vyžaduje sa, aby slinutá magnézia mala popri vysokom obsahu MgO, nízku pórovitosť, vyjadrenú objemovou hmotnosťou vyššou ako  $3,4 \text{ g} \cdot \text{cm}^{-3}$ . Preto sa v súčasnosti venuje veľká pozornosť procesu slinovania veľmi čistého MgO.

Cieľom tejto práce je podať stručný prehľad o poznatkoch v tejto oblasti, ako aj o cestách, ktoré vedú k získaniu slinutej magnézie s nízkou pórovitosťou.

#### APLIKÁCIA TEORETICKÝCH ZÁKLADOV PROCESU SLINOVANIA NA OXID HOREČNATÝ

Veľký počet prác, hlavne v 60. a 70. rokoch, sa zaoberal skúmaním riadiaceho mechanizmu v procese slinovania MgO. Vychádzali pri tom z teoretických úvah Kuczvnského [1], Kingeryho [2] a iných, ktorí odvodili kineticé rovnice popisujúce počiatočnú fázu slinovania pre modelové systémy častic guľovitého tvaru.

Proces slinovania môže prebiehať v sústavách v prítomnosti taveniny, ako aj bez nej. Je známych viacero mechanizmov transportu hmoty, ktorými môže byť proces riadený. Sú to povrchová difúzia, objemová difúzia, difúzia po hraniciach zrín, vyparovanie a kondenzácia, prípadne viskózne tečenie. Všetky uvedené mechanizmy prispievajú k rastu kŕčkov medzi časticami.

Vznikom hraníc zrín, spájaním častic a rastom kŕčkov medzi nimi, sa vyznačuje prvé štadium slinovania. V súčasnosti sa prijíma názor, že u keramických materiálov je za bežných podmienok pri slinovaní bez prítomnosti tekutej fázy prevládajúcim mechanizmom prenosu látky difúzia v tuhej fáze. Zakrivené konkávne plochy kŕčkov sa vyznačujú vyššou koncentráciou vakancií ako rovné plochy hraníc zrín. Zvýšenie koncentrácie vakancií na zakrivenom povrchu udáva vzťah:

$$\Delta C = C_0 \cdot \frac{2\gamma a^3}{rkT}, \quad (1)$$

kde  $C_0$  — koncentrácia vakancií v blízkosti rovného povrchu;  $\gamma$  — plošná hustota povrchovej energie;  $a$  — mriežkový parameter;  $r$  — polomer krivosti;  $k$  — Boltzmannova konštanta;  $T$  — absolútна teplota.

Vakancie difundujú zo zakrivených povrchov kŕčkov resp. látka je transportovaná opačným smerom. V prípade, že transport látky nastáva povrchovou difúziou a vyparováním — kondenzáciou, nedochádza k zmršťovaniu sústavy. V ostatných

prípadoch platí v počiatočnej fáze slinovania pre lineárne zmrštenie veľkého súboru homogénne usporiadaných rovnako veľkých guľovitých častíc, kinetická rovnia

$$\frac{\Delta l}{l_0} = \frac{K}{r^m} t^n, \quad (2)$$

kde  $n, m, K$  — sú konštanty,  $r$  — polomer častíc,  $t$  — čas,  $\Delta l/l_0$  — lineárne zmrštenie. Hodnota konštanty  $n$  závisí od toho, či je riadiacim mechanizmom prenosu látky objemová difúzia, alebo difúzia po hraniciach zrn, resp. viskózny tok.

Prechodné štádium procesu slinovania (druhé štádium) je spojené s takými štruktúrami, v ktorých pory tvoria kontinuálne „tunely“ pozdĺž hrán polygonálnych zrn. Pre kinetiku tohto štátia bolo odvodených viaceré rovnic [3, 4, 5]. Všetky majú obmedzenú platnosť, pretože geometria reálnych sústav má väčšie, alebo menšie odchyly od modelových, z ktorých sa vychádzalo pri odvodení rovníc.

Konečné štádium procesu slinovania sa vyznačuje hlavne rastom zrn. Hybnou silou tohto procesu je povrchová energia hranice zrn. Štúdium mikroštruktúry látok z nábrusov ukazuje, že zrná sa stýkajú po troch v jednom bode. Keďže zrná majú rôzny počet hrán, je nevyhnutelné, aby väčšina hraníc zrn bola zakrivená. Aby zrná zmenšili svoj povrch, budú sa hranice pohybovať smerom do svojho stredu krivosti. To znamená že zrná s konkávnymi hranami budú rasti, zatiaľ čo zrná s konvexnými hranami sa budú zmenšovať. Typický príklad nadmerného rastu zrna s konkávnymi hranami je na obr. 1. Pre kinetiku rastu zrn platí empirická rovnička:

$$D^n - D_0^n = Kt, \quad (3)$$

kde  $D$  je veľkosť zrna v čase  $t$ ,  $D_0$  veľkosť zrna na počiatku. Exponent  $n$  má obvykle hodnoty v intervale 2 až 3. Zrná by mohli teda rásť dovtedy, kým by nevznikol monokryštál. Takyto jav sa však v praxi nepozoruje. Smith [20] v roku 1948 uverejnili výpočty Zenera, podľa ktorých je maximálna veľkosť zrna daná vzorcom:

$$D_m = \frac{Kd}{f}, \quad (4)$$

kde  $d$  je veľkosť častíc cudzích prímesí,  $f$  je ich objemový zlomok v danej sústave a  $K$  je konštantá.

Podľa [13, 14] je v MgO pomalšie difundujúcim kyslíkový anión. Berežnoj [15] uvádza, že do teploty 1 600 K je pomalší  $Mg^{2+}$  ako  $O^{2-}$ , a až nad touto teplotou sa pomer mení na opačný. Kingery [16] zistil, že v polykryštalickom MgO dochádza k prednostnej difúzii kyslíka po hraniciach zrn. Predpokladá sa, že kyslíkový anión je v prebytku v blízkosti hraníc zrn.

Wermuth a Knapp [6] uvádzajú, že pri izotermickom slinovaní MgO pri teplotách 814—1 060 °C v atmosfére suchého dusíka je lineárne zmrštenie úmerné 0,34 — mocnine času, čo súhlasí s modelom, v ktorom je difúzia po hraniciach zrn riadiacim mechanizmom prenosu látky. Stanovili aktivačnú energiu procesu 252 kJ/mol, ktorá je blízka hodnote nájdenej pre samodifúziu kyslíka v MgO [7]. Podľa Browna [8] je pórovitosť pri slinovaní veľmi čistého MgO lineárne závislá na logaritme času a aktivačná energia procesu je 113 kJ/mol. Z toho usudil, že pravdepodobnejšou je v tomto prípade difúzia po hraniciach zrn, ako objemová difúzia. Reeve a Clark [9] prehodnotili jeho údaje a zistili, že skutočná hodnota

aktivačnej energie procesu mala byť 362 kJ/mol. Táto hodnota je v dobrej zhode s aktivačnou energiou pre samodifúziu  $Mg^{2+}$  v MgO [10]. Wong a Pask [11] rozdelili proces slinovania na dva deje. Pri prvom nastáva transport látky z hraníc zfn do oblastí kŕčkov medzi časticami a pri druhom ďalší transport látky z kŕčkov na susediace voľné povrhy. Pri slinovaní MgO v atmosféri suchého vzduchu bola rýchlosť procesu limitovaná transportom látky z kŕčkov. V práci [12] stanovili, že pri slinovaní MgO v počiatočných fázach je pri teplote cca 900 °C dominantným procesom pri tvorbe kŕčkov medzi časticami povrchová difúzia. Nedochádza pri tom k zmršťovaniu sústavy a k eliminácii pôrovitosti.

Z krátkeho priehľadu je vidieť, že existujú veľké rozdiely v údajoch jednotlivých autorov. Je to spôsobené tým, že modely na základe ktorých boli odvodené kinetické rovnice pre slinovanie sú veľmi zjednodušené a nevystihujú z daleka reálne systémy. K tomu je viac dôvodov. Jednotlivé fázy procesu slinovania môžu byť riadené rôznym mechanizmom prenosu látky a naopak, transport látky môže prebiehať niekoľkými spôsobmi súčasne. Prímesi, aj v nízkych koncentráciach, môžu ovplyvniť slinovanie MgO. Ich účinok je veľmi rôzny a bude podrobnejšie popísaný v ďalšej kapitole. A nakoniec, ale nie v poslednom rade, je to geometria reálnych systémov, ktorá sa obvykle značne líši od teoretických modelov, založených na predstave dokonale symetricky usporiadaných častíc rovnakej veľkosti a tvaru.

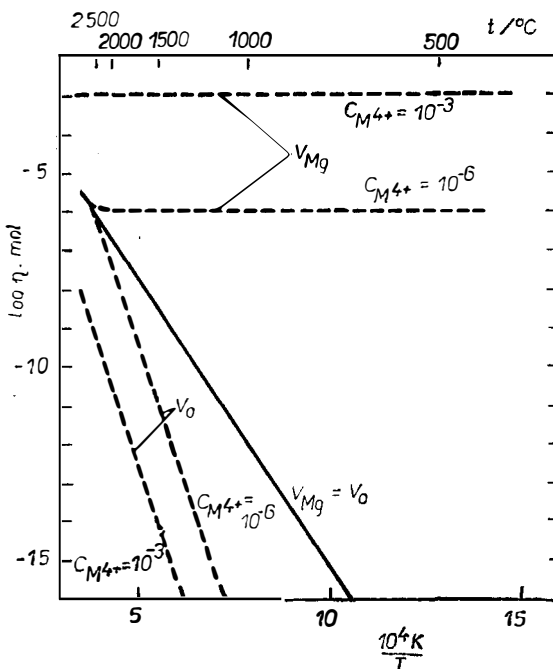
### VPLVV PRÍMESI NA SLINOVANIE MgO

Prímesi v MgO môžu ovplyvňovať proces slinovania rôznym spôsobom. Iné ióny ako dvojmocné, ktoré vstupujú do kryštálovej mriežky MgO, zvyšujú koncentráciu katiónových, alebo aniónových vakancií. Rovnovážna koncentrácia „vlastných“ vakancií v mriežke MgO, ktorý neobsahuje žiadne prímesi, je daná vzťahom:

$$\eta_a \cdot \eta_c = \exp \frac{-E}{kT}, \quad (5)$$

kde  $E$  je energia potrebná na vytvorenie vakancie [16]. Zo vzťahu (5) vyplýva, že koncentrácia vakancií je závislá na  $E$  a teplote. V MgO bez prímesí sa pre zachovanie elektroneutrality musí koncentrácia katiónových a aniónových vakancií rovnati. Z obr. 2 je vidieť, že koncentrácia „vlastných“ vakancií je v MgO veľmi nízka, a že ani pri teplote 1 800 °C nepresahuje hodnotu  $10^{-7}$ . Je to hodnota niekoľko tisíckrát menšia, ako je koncentrácia prímesí aj v tých najčistejších oxidoch, aké sa vobec podarilo pripraviť.

Z uvedeného je jasné, že koncentrácia vakancií v mriežke MgO bežnej aj keď vysokej čistoty, bude daná prímesami odlišného mocenstva. Prísady jednomocných katiónov zvyšujú v MgO koncentráciu kyslíkových vakancií, zatiaľ čo prímesi viac ako dvojmocných katiónov a jednomocných aniónov zvyšujú koncentráciu katiónových vakancií. Na obr. 2 je znázornená teplotná závislosť koncentrácie vakancií pre prípady, keď MgO obsahuje prímes štvormocného katiónu v množstvách  $10^{-3}$  a  $10^{-6}$  mólov v 1 móle MgO. Zabudovanie jedného štvormocného katiónu do mriežky MgO spôsobí vznik jednej katiónovej vakancie ( $V_{Mg}$ ). Keďže súčin  $\eta_a \cdot \eta_c$  musí zostať konštantný, prímesi zvyšujúce koncentráciu katiónových vakancií spôsobia pokles koncentrácie aniónových vakancií ( $V_o$ ) ako je to znázornené na obr. 2. V tomto prípade koncentrácia katiónových vakancií je prakticky konštantná a nezávislá na teplote, zatiaľ čo koncentrácia aniónových vakancií je v celom teplotnom rozsahu nižšia, ako koncentrácia vakancií v MgO bez prímesí.



Obr. 2. Závislosť rovnovážnej koncentrácie vakancií ( $\eta$ ) v  $\text{MgO}$  na teplote ( $T$ ).  
 $V_{\text{Mg}}^+$  — katiónové vakancie;  $V_0$  — aniónové vakancie;  $C_{\text{M}^{4+}}$  — molárna koncentrácia prímesi štvormocného katiónu v  $\text{MgO}$ .

Od koncentrácie vakancií závisia rýchlosť difúzie pri mriežkovej difúzii katiónov a aniónov. Ak sa prijme názor, že proces slinovania  $\text{MgO}$  je riadený rýchlosťou difúzie pomalších kyslíkových aniónov, potom jednomocné katióny vstupujúce do mriežky periklasu budú urýchlovať proces tým, že zvyšujú koncentráciu kyslíkových vakancií. Reynen [17] však ukázal, že prímesi, ktoré zvyšujú koncentráciu vakancií pomalšie difundujúceho iónu, môžu urýchlovať slinovanie len po určitú kritickú koncentráciu. Zvyšovanie koncentrácie prímesi nad túto hranicu už nemá žiadny účinok, pretože spôsobil taký pokles koncentrácie vakancií opačného znamienka, že pôvodne rýchlejšie difundujúci ión sa stane pomalším a bude kontrolovať celkovú rýchlosť procesu slinovania.

Pri týchto úvahách sa predpokladalo, že prímesi sú rovnomerne rozptýlené v celom objeme. Situácia v reálnych sústavách je zložitejšia. Hranice a objem zrín predstavujú dve možnosti difúzie a je možná difúzia dvoch iónov rozličnými cestami. V mnohých prácach sa experimentálne dokázala rýchlejšia difúzia po hraniciach zrín, ako v objeme kryštálu. Kingery [16] predpokladá, že zrýchlená difúzia po hraniciach zrín prebieha v oblastiach, ktorých efektívna hrúbka môže mať veľmi rôzne hodnoty závisiace na tepelnom spracovaní materiálu, chemickom zložení prímesí a na ich segregácii. Experimentálne výsledky udávajú  $10^3$  až  $10^6$  násobnú rýchlosť difúzie po hraniciach zrín oproti objemovej difúzii. Hranice zrín v polykryštalických látkach, ako je aj oxidová keramika, zohrávajú v procese slinovania veľmi významnú úlohu. Predstavujú miesta s vysokým stupňom neusporiadanonosti, kde nastávajú javy, ktoré v objeme zrín neexistujú. Veľký význam

hranic zrín v procese slinovania vyplýva už aj z toho, že sú miestom, kde môžu zaniknúť vakancie difundujúce zo zakrivených povrchov pór. Látka difunduje opačným smerom, vypĺňa povrch pór a dochádza k zmršťovaniu sústavy. Póry, ktoré stratia kontakt s hranicou zrín sa uzavierajú vo vnútri zrna a ďalej sa nezmršťujú. Frenkel [18] a Lehovec [19] ukázali, že v dôsledku prebytku iónov jedného znamienka môže povrch a hranice zrín iónových kryštálov získať elektrický náboj, ktorý je kompenzovaný priestorovým nábojom opačného znamienka v blízkosti hranice. V oxide bez prímesí takýto náboj vznikne v prípade, keď sa v blízkosti hraníc líšia energie potrebné pre vznik katiónovej a aniónovej vakancie. Veľkosť a znamienko náboja hraníc sa môže značne zmeniť, keď sú prítomné ióny odlišného mocenstva, ktoré ovplyvňujú koncentráciu mriežkových porúch v kryštále. Veľkosť a znamienko náboja je tiež závislé na teplote. Priamy experimentálny dôkaz existencie záporného náboja na hraniciach zrín 99,999 % MgO pri teplote 1 650 °C je uvádzaný v práci [16].

Existencia náboja na hraniciach zrín MgO spôsobená prebytkom vakancií jedného druhu, ovplyvniteľná iónmi odlišného mocenstva a teplotou, môže významne urýchlovať difúziu katiónov, alebo aniónov po hraniciach zrín, čo sa výrazne prejaví v kinetike procesu slinovania. Ďalšou významnou črtou hraníc zrín je, že dochádza v ich blízkosti k segregácii prímesí. Pritom Kingery [16] používa pojem segregácia v ohraničenom slova zmysle na vyjadrenie zvýšenia, alebo zníženia koncentrácie v oblasti hraníc zrín bez toho, aby došlo k separácii novej fázy.

Pre oxidy je hlavným faktorom, ktorý ovplyvňuje segregáciu elektrostatickým potenciálom rozhrania. Na hrubku vrstvy, v ktorej dochádza k segregácii je veľmi nejednotný názor a uvádzajú sa údaje od  $10^{-6}$  do  $10^{-8}$  m.

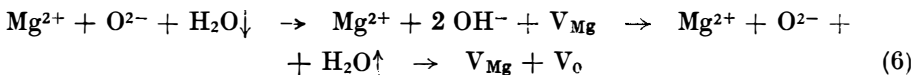
Prímesi, ktoré sa v MgO nerozpúšťajú, alebo ich koncentrácia presahuje hranicu rozpustnosti pri danej teplote, vytvárajú druhú fázu a môžu byť prítomné pri slinovaní ako tuhé, alebo kvapalné. Podľa toho je ich účinok rozdielny. Tuhé prímesi tvoriace druhú fázu brzdia rast zrín MgO pri slinovaní, ako to vyplýva z rovnice (4) a zabraňujú tvorbe uzavretých pór, ktoré vznikajú pri veľmi rýchлом raste zrín, pri ktorom póry strácajú kontakt s hranicami zrín. Prímesi, ktoré pri teplotách slinovania tvoria taveninu, môžu tiež pozitívne ovplyvňovať proces, ale z hľadiska použitia MgO ako žiaruvzdorného materiálu, obvykle zhorskujú jeho vlastnosti a preto sú nežiadúce.

Je jasné, že rôzne prímesi môžu veľmi rozmanitým spôsobom ovplyvniť proces slinovania a rast zrín MgO. Aby bolo možné určiť, ako tá, ktorá prímes bude účinkovať, je nutné úplne exaktne definovať jej povahu, lokalizáciu, koncentráciu, interakcie s ostatnými prímesami, teplotu pri ktorej sa proces slinovania realizuje a väčšinou aj plynnú fázu (hlavne  $P_{O_2}$  a  $P_{H_2O}$ ), ktorá je v kontakte s tuhou fázou. V mnohých prácach tieto údaje vôbec nie sú k dispozícii a preto sa stáva, že rôzni autori dochádzajú k rôznym výsledkom. Hamano [21] zhral publikované údaje o vplyve katiónových prímesí na slinovanie MgO a Green [22] ich uvádzajú vo svojej práci vo forme tabuľky. Z údajov vyplýva, že jednoznačne pozitívny účinok majú katióny  $Fe^{2+}$ ,  $Fe^{3+}$ ,  $Ti^{4+}$ ,  $Zr^{4+}$  a  $Mn^{4+}$ . Všetky, okrem  $Fe^{2+}$ , zvyšujú v kryštálovej mriežke MgO koncentráciu katiónových ( $V_{Mg}$ ) vakancií, znižujú koncentráciu aniónových ( $V_0$ ) vakancií a mali by teda negatívne ovplyvňovať rýchlosť procesu slinovania. Aj v prípade FeO, ako prímesi, ktorá sa rozpúšťa v MgO za vzniku magnéziowüstitu, je potrebné uvažovať s rovnováhou  $Fe^{2+}/Fe^{3+}$  závislou na parciálnom tlaku  $O_2$  a teplote a k tomu proporcionálnej koncentráciou katiónových vakancií.

Vo väčšine prác [21, 23, 24, 25, 26, 27], v ktorých zistili pozitívny účinok hore- uvedených prímesí na slinovanie MgO, ostávajú získané kvalitatívne údaje viac menej neobjasnené. Vplyv  $Zr^{4+}$  na slinovanie MgO sa pokúsili vysvetliť v prácach [28, 29]. Figusch [29] vysvetluje urýchlenie procesu spekania MgO v prítomnosti  $Zr^{4+}$  tvorbou kontinuálnej fázy s vysokou aniónovou vodivostou na hraniciach zrn MgO. Urýchlenie difúzie aniónov po hraniciach zrn viedie k zvýšeniu rýchlosťi transportu látky pri spekaní. Reynen [28] predpokladá vznik zvláštneho vakancného páru ( $V_{Mg} + V_0$ ), ktorý umožňuje umiestnenie rozmerného iónu  $Zr^{4+}$  v mriežke MgO. V dôsledku toho sa zvýší v narušenej oblasti pohyblivosť iónov kyslíka. Ani v jednej práci však neboli podané exaktné dôkazy hypotéz. Je veľmi pravdepodobné, že prímesi pridávané v nízkych koncentráciach sú segregované na hraniciach zrn MgO a urýchľujú difúziu pomalších kyslíkových aniónov.

Aniónové prísady tiež môžu ovplyvňovať proces slinovania. V prácach [30, 31] zistili pozitívny účinok  $F^-$ ,  $Cl^-$  a  $OH^-$  na proces slinovania a rast zrn MgO. Efektívnosť pôsobenia prísad je v rade  $OH^- > F^- > Cl^-$ . Ich účinok je značne ovplyvnený veľkosťou častic a pôrovitostou MgO a výsledky sú nejednoznačné. Môžu byť ovplyvnené a vo väčšine prípadov aj sú ovplyvnené interakciou aniónových prímesí s katiónnimi, ktoré MgO obsahoval. Hlavne chloridy a fluoridy alkalických kovov a vápnika sú najčastejšími prímesami v MgO a zvyšujú jeho pôrovitosť po slinovaní [37]. Ich vplyv veľmi závisí od toho ako homogénne sú rozptýlené. Preto sú údaje uvádzané v literatúre často veľmi rozporné.

V tejto časti je potrebné spomenúť tiež výrazný účinok vodnej parí na rast zrn a elimináciu pôrovitosti, hlavne v počiatocných fázach procesu [32–36]. Vysvetluje sa interakciou medzi molekulami  $H_2O$  a povrchom MgO podľa nasledovnej reakcie [22]:



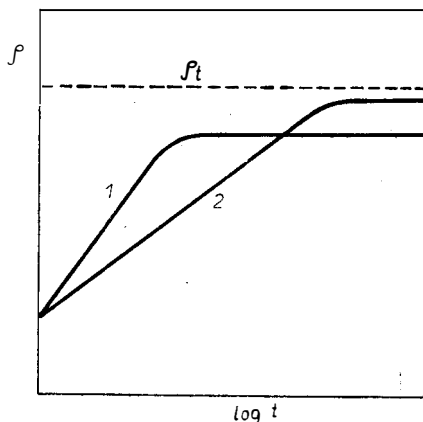
Podľa tohto mechanizmu dochádza v dôsledku reakcií v povrchových vrstvách MgO k zmene koncentrácie vakancií a tým aj k urýchleniu prenosu látky, čo je pre proces slinovania rozhodujúce.

Podrobnejší rozbor účinku jednotlivých prímesí na proces slinovania MgO by si vyžiadal väčší priestor, ako to dovoľuje rozsah a zámer tejto práce. Vo väčšine prípadov, keď nie sú presne definované podmienky, môže byť zistený účinok kvantitatívne, ale aj kvalitatívne rôzny až protichodný. Cieľom tohto stručného prehľadu bolo upozorniť na niektoré javy a faktory, ktoré môžu význačným spôsobom ovplyvňovať proces slinovania MgO za prítomnosti rôznych prímesí.

## FAKTORY OVPLYVŇUJÚCE KONEČNÚ HUTNOSŤ SLINUTEJ MAGNÉZIE

Z praxe je známe, že medzi práškovými materiálmi rovnakého chemického zloženia, môžu byť veľké rozdiely v slinovateľnosti. Existuje pre to veľa dôvodov, relatívne jednoduchých, ale vo vzájomných súvislostiach veľmi komplexných. Predpovedať, že ako sa bude chovať pri slinovaní ten-ktorý prášok, je na základe niekoľkých laboratórnych meraní veľmi obtiažné. Preto mnohokrát technológovia považujú celú oblasť týkajúcu sa charakterizácie práškov za veľmi nejasnú a neprehľadnú. Často sa používajú pojmy „aktívnosť prášku“, alebo „slinovateľnosť prášku“. Tu je potrebné si objasniť, čo sa považuje za „lepšie“ slinujúce. Podľa

rovnice (2) jednoznačne vyplýva, že zmrštenie v počiatočnej fáze slinovania veľkého súboru častíc je nepriamo úmerné m-tej mocnine polomeru častíc. Ak sa posudzuje aktívnosť práškov z merania rýchlosťi zmršťovania v počiatočnej fáze slinovania, potom vychádza, že drobnozrnejšie prášky sú aktívnejšie. Z hľadiska technológa je však dôležitejším parametrom konečná hustota slinutého telesa. „Lepšie“ slinujúci je ten prášok, ktorý umožňuje po slinovaní, pri podmienkach realizovateľných v praxi, získať produkt s nižšou póravitostou (vyššou hustosťou). Ako je to vidieť z obr. 3, vzorka označená č. 2 má z hľadiska technológa lepsiú slinovateľnosť ako vzorka č. 1, pretože dosiahne výšiu konečnú hustosť, a to aj napriek tomu, že jej rýchlosť zmršťovania bola menšia. Vzorka č. 1 veľmi rýchlo dosiahla konečnú hodnotu hustoty, tá je však v porovnaní so vzorkou č. 2 nižšia a zachováva si vysokú „permanentnú“ póravitosť. Dôvodov k takémuto javu môže byť viac. Jedným je príliš rýchly rast zrín, pri ktorom pory strácajú kontakt s hranicami zrín a uzatvárajú sa v zrnách. Tieto pory už nie je možné odstrániť ani po veľmi dlhej dobe slinovania. Zabrániť veľmi rýchlemu a nadmernému rastu zrín môžu prímesi, ktoré vytvárajú druhú fázu a sú jemne rozptýlené medzi zrnami slinujúceho materiálu (vid rovniciu 4 v tejto práci). Iným dôvodom pre vysokú „permanentnú“ póravitosť slinutého telesa je morfológia východzieho prášku a od nej závislý vývoj mikroštruktúry v procese slinovania. Pre tieto účely je potrebné chápať pojem „morfológia“ v tom najširšom slova zmysle. Nie len tvar častíc, ale aj vzájomné väzby medzi nimi, ich usporiadanie, distribúciu veľkosti častíc a stupeň ich aglomerácie.



Obr. 3. Schématické znázornenie závislosti objemovej hmotnosti ( $\rho$ ) na čase ( $t$ ) pri slinovaní pri konštantnej teplote,  
 $\rho_t$  – hustota.

Oxid horečnatý získaný termickým rozkladom zlúčenín horčíka ako  $Mg(OH)_2$ ,  $MgCO_3$ ,  $Mg_2C_3O_4$ ,  $MgCl_2$  a pod. sa skladá z kryštálov, ktorých veľkosť sa pohybuje obvykle v rozmedzí 0,01 až 1,0  $\mu\text{m}$ . Sú to bezpórovité častice v odbornej literatúre často označované ako kryštality, alebo primárne častice [38]. Vždy tvoria aglomeráty, v ktorých sú kryštality viazané navzájom povrchovými silami fyzikálnej, alebo chemickej povahy. Aglomeráty sa obvykle delia na „hard“, v ktorých sú častice spojené relatívne pevnými silami a „soft“ aglomeráty kde

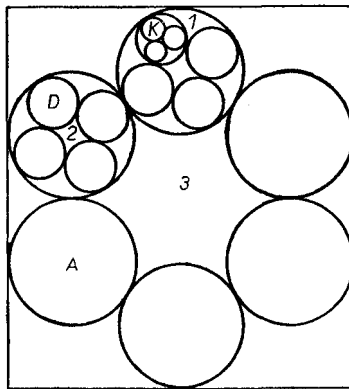
väzba vzniká pôsobením Van der Waalsových síl. Často sa pre vyjadrenie stupňa aglomerácie využíva aglomeračný faktor (AF), ktorý je definovaný takto:

$$AF = \frac{\text{medián priemerov aglomerátov}}{\text{ekvivalentný priemer kryštalítov}}, \quad (7)$$

pričom sa veľkosť aglomerátov meria napr. sedimentačnou metódou a veľkosť kryštalítov sa vyráta z merného povrchu BET. Aglomeračný faktor má hodnotu 1 pre neaglomerovaný prášok. Pre ostatné prípady nadobúda hodnoty > 1.

Veľký počet prác sa zaobrá reláciami medzi východzími zlúčeninami a vlastnosťami MgO, ktorý sa z nich získava termickým rozkladom napr. [39–49]. Väčšinou sa sleduje slinovateľnosť MgO, a to z hľadiska konečnej pôrovitosti. Najpodrobnejšie je prebádaný termický rozklad Mg(OH)<sub>2</sub>. Kryštály hydroxidu horečnatého (brucit) majú pre ne typický tvar hexagonálnych platničiek. Oxid horečnatý, ktorý vzniká termickým rozkladom Mg(OH)<sub>2</sub> si zachováva tvar kryštálov prekurzora. Tieto pseudomorfózy Mg(OH)<sub>2</sub> sú v odbornej literatúre tiež označované ako „relikty“. Pozostávajú z drobných kubických kryštalítov MgO, ktoré sa dotýkajú navzájom hranami a rohmi a vytvárajú aglomerát tvaru východiskového kryštálu. Aglomeráty sú pôrovité, pričom rozmery pórov v nich rádovo zodpovedajú veľkosti kryštalítov MgO, ktoré sa pohybujú v závislosti na podmienkach termického rozkladu Mg(OH)<sub>2</sub> (teplota, čas, pecná atmosféra) bežne v rozmedzí 10–100 nm [36, 49]. Aglomeráty (pseudomorfózy) zodpovedajú na obr. 4 časticiam označeným ako D. Kryštály Mg(OH)<sub>2</sub> majú sklon

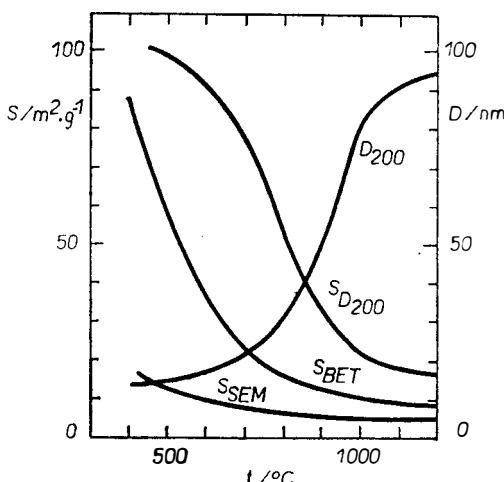
Číslom 1 je označený pór medzi tromi časticami K



Obr. 4. Schématické znázornenie usporiadania častic a pórov v aglomerovanom prášku. K – primárne časticie (kryštality), D – aglomeráty primárnych častic (domény). A – aglomeráty zložené z domén, 1 – póry medzi primárnymi časticami, 2 – póry medzi doménami, 3 – póry medzi aglomerátmi.

orientovať sa navzájom veľkými plochami k sebe už v procese sedimentácie a filtrácie suspenzie (v chemickom procese výroby Mg(OH)<sub>2</sub>) a tak vytvárajú väčšie agregáty. Tieto ostávajú zachované aj po termickom rozklade Mg(OH)<sub>2</sub> vo forme veľkých aglomerátov, ktoré zodpovedajú časticiam A pri schématickom znázornení na obr. 4. V dôsledku vysokého stupňa vzájomnej usporiadaneosti kryštálov Mg(OH)<sub>2</sub> môžu chýbať v produkte termického rozkladu póry kategórie

označenej číslom 2 na obr. 4. Keď sa produkt rozkladu  $Mg(OH)_2$  kalcinuje pri teplotách v rozmedzí 900–1 000 °C, dochádza už k slinovaniu primárnych častíc (K na obr. 4) a k eliminácii pôrov označených I. Pseudomorfózy sa rozrušujú a vznikajú časticie s daleko nižšou pôrovitosťou a prášok vykazuje oveľa nižší stupeň aglomerácie. Horeuvedené dobre dokumentujú závislosť merného povrchu oxidu horečnatého z  $Mg(OH)_2$  na teplote kalcinácie (obr. 5), stanovené rôznym spôsobom. Merný povrch vypočítaný z priemernej veľkosti kryštalitov, stanovenej z rozšírenia rtg. difrákčných línii, je najväčší. Merný povrch BET reprezentuje povrch kryštalitov zmenšený o ich stykové plochy. Zo snímkov SEM je možné určiť priemernú veľkosť aglomerátov a vypočítať tomu zodpovedajúci merný povrch. Tento je najmenší. Z rozdielu medzi  $S_{BET}$  a  $S_{SEM}$  sa dá posúdiť pôrovitosť aglomerátov. Rozdiel  $S_{D200}$  a  $S_{BET}$  udáva stupeň usporiadania kryštalitov v pseudomorfózach, resp. veľkosť styčných plôch, ktorými sa kryštality dotýkajú. Z týchto údajov je možné tiež vypočítať aglomeráčny faktor prášku.



Obr. 5. Závislosť merného povrchu ( $S$ ) a veľkosti kryštalítov  $MgO$  ( $D$ ), pripraveného z  $Mg(OH)_2$ , na teplote kalcinácie ( $t$ ),

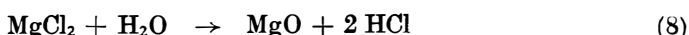
$D_{200}$  – priemerná veľkosť kryštalítov stanovená z rozšírenia rtg. difrákčných línii

$S_{D200}$  – merný povrch vypočítaný z priemernej veľkosti kryštalítov,

$S_{BET}$  – merný povrch stanovený metodou BET.

$S_{SEM}$  – merný povrch vypočítaný z priemernej veľkosti aglomerátov zmeraných z obrázkov SEM.

Oxid horečnatý s inými vlastnosťami sa získa termickým rozkladom roztoku chloridu horečnatého. Ide o proces realizovaný v priemyselnom merítku, kde sa roztok rozprášuje do reaktora vyhrievaného spalinami zemného plynu a rozklad prebieha v jemne rozprášených kvapkách, zjednodušene podľa reakcie:



Typickým morfologickým znakom tohto produktu je výskyt guľovitých častic, ktoré sú pozostatkami veľkých kvapiek v ktorých prebiehal rozklad za spoluúčasti taveniny. Tieto guľovité časticie s rozmermi až do 20  $\mu\text{m}$  sú obklopené drobnokryštalickým matríkom, ktorý tvoria kryštality  $MgO$  o veľkosti 100 až 500 nm.

Kryštality majú sklon k aglomerácii, pričom aglomeráty sú veľké až 200 µm. Samotné krystality nie sú pôrovité. Vypočítaný merný povrch sa veľmi dobre zhoduje s merným povrhom BET.

Ak sa východzí materiál pred slinovaním pripraví tak, že pozostáva z rovnakých, drobných častíc, homogénne rozptýlených, potom proces slinovania prebieha rovnomerne v celom objeme. Za takéhoto podmienok je možné slinovaním získať takmer úplne zhutnenie na nulovú pôrovitosť. Reálne materiály však majú veľké množstvo odchýliek od modelových sústav, ako to bolo popísané vyššie. Rozdiely vo veľkostiach častíc, ktoré môžu dosahovať až niekoľko poriadkov a nehomogenity v distribúcii látky vo výlisku, majú veľký vplyv na rezultujúcu mikroštruktúru po slinovaní. V procese slinovania sa nehomogenity obvykle ešte viac prehlbujú. Usporiadanie častic vo výlisku je parameter často zanedbávaný, ale v skutočnosti významne ovplyvňuje slinovateľnosť prášku.

Dva rovnako veľké póry, s rovnako veľkými dihedrálnymi uhlami na priesecníku hranice zrn a póru, môžu byť obklopené rôznym počtom častíc, tj. majú rôzne koordinačné číslo [54]. Dihedrálny uhol je definovaný:

$$\cos(\Phi/2) = \gamma_{gb}/2\gamma_s, \quad (9)$$

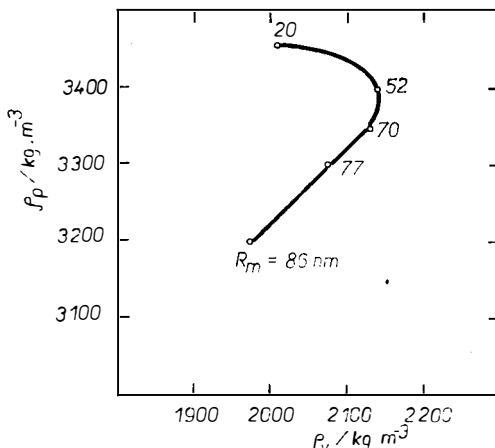
kde  $\gamma_{gb}$  – plošná hustota energie hranice zrn,  $\gamma_s$  – plošná hustota energie povrchu póru. Častice obklopujúce pór s vysokým koordinačným číslom majú konvekívny povrch a pór s nízkym koordinačným číslom konkávny. Pór s konvekívnym povrhom má termodynamické predpoklady, že bude rásť a naopak. Pri danom dihedrálnom uhuje existuje kritické koordinačné číslo  $R_c$ , ktoré určuje zmenu z konvekívneho ( $R > R_c$ ) na konkávny ( $R < R_c$ ) povrch [55, 56]. Keď je  $R < R_c$  pór sa bude zmršťovať a môže úplne vymiznúť.  $R_c$  je funkciou dihedrálneho uhla, tj. rastie so stúpajúcou hodnotou  $\Phi$ .

V aglomerovanom prášku existujú obvykle tri kategórie pórov: a) Póry s najnižším koordinačným číslom sú medzi primárnymi časticami – kryštalitmi, ktoré majú súčasne aj nejniemšie rozmer (viď obr. 4.); b) Póry s vyššími koordinačnými číslami medzi doménami; c) Póry s najvyššími koordinačnými číslami medzi aglomerátnimi. Zvyšovaním lisovacieho tlaku pri príprave výliskov je možné „soft“ aglomeráty rozdrúbiť, čo znamená, že sa rozpadnú na domény, ktoré vyplnia priestory medzi nimi. Podobne je to s rozrušením domén pri vyššich lisovacích tlakoch. To znamená, že zvýšením lisovacieho tlaku sa zvyšuje hustosť výliskov. Ale samotná hustosť nie je rozhodujúca. Dôležité je, že sa likvidujú veľké póry s najvyššími koordinačnými číslami. Teda koordinačné čísla pórov vo výlisku budú závisieť okrem pôrovitosti na distribúcii veľkosti častíc, ktoré ich obklopujú (domény, aglomeráty) a môžu byť znížené zvýšením hustoty a/alebo zmenšením rozmerov domén a aglomerátorov. Zistenie distribúcie pórov vo výlisku je jednou z metód, dôležitých pre posúdenie stupňa aglomerácie východiskového prášku a pre posúdenie slinovateľnosti materiálu.

Typický príklad, keď hustosť MgO pripraveného z MgCl<sub>2</sub> po slinovaní nezávisela na pôrovitosti výliskov, ale hlavne na veľkosti pórov, je dokumentovaný na obr. 6. Zmena pôrovitosti výliskov u skúmanej vzorky pri použití konštantného lisovacieho tlaku je dôsledkom zmeny morfológie prášku, dosiahnutej rýchlosťou hydratáciu MgO a následnou kalcináciu [37].

Spočiatku so stúpajúcou hustosťou výliskov v závislosti na stupni hydratácie MgO, klesal medián polomerov pórov a stúpala objemová hmotnosť po slinovaní lineárne. Vo výlisku z úplne zhydratovej vzorky prudko klesol medián polomerov pórov a po slinovaní sa docielila najvyššia objemová hmotnosť napriek tomu, že

pórovitosť výlisku bola vyššia ako u predchádzajúcich vzoriek. Hydratáciou MgO a následnou kalcináciou došlo k výraznej kvalitatívnej zmene prášku z hľadiska jeho slinovacej schopnosti. Získal sa produkt s ďaleko nižším stupňom aglomerácie a s menšími kryštalitti, čo sa prejavilo v homogénnosti výliskov a vo vývoji mikroštruktúry pri slinovaní.



Obr. 6. Závislosť objemovej hmotnosti po výpale ( $\rho_p$ ) na objemovej hmotnosti výliskov ( $\rho_v$ ) z MgO  
 $R_m$  – medián polomerov pôrov vo výliskoch.

V priebehu procesu slinovania vznikajú vysoko zhutnené oblasti, napr. domény, alebo aglomeráty, v ktorých lokálne prebieha zmršťovanie veľkou rýchlosťou. V týchto oblastiach dochádza k rastu zŕn, pretože sa v nich eliminujú póry, ktoré sú brzdiacim faktorom rastu zŕn. Toto má za následok zníženie koordinačného čísla pôrov medzi doménami a/alebo aglomerátmi. Čiže rast zŕn môže takto kontrolovať celú kinetiku slinovania a môže napomáhať procesu slinovania.

Na druhej strane sa koordinačné číslo pôrov zvyšuje, keď nárast veľkosti pôrov prevyšuje rast zŕn. Tento prípad nastane napr. ak dojde k separácii aglomerátov, alebo domén v priebehu procesu slinovania, v dôsledku veľkých lokálnych zmrštení, alebo preskupenia častic [52–54]. K separácii dochádza medzi oblastami s vyššie koordinovanými časticami (póry s nižším koordinačným číslom) pri procese tvorby a rastu kfčkov. Počiatok separácie veľkých guľovitých útvarov v produkte termického rozkladu MgCl<sub>2</sub> zachytáva obr. 7. Týmto sa objasňuje nárast pôrov v počiatočnej fáze slinovania bez toho, aby sa teleso ako celok zmršťovalo. Pri tomto procese vznikajú póry s vysokým koordinačným číslom, ktoré môžu ďalej rásť a vytvárať ešte vyššie koordinované póry, pokiaľ nedošlo k rastu zŕn periklasu (obr. 8, 9). V ďalšom priebehu procesu slinovania už tieto veľké póry nezaniknú a zväčšujú celkovú pórovitosť kompaktu (obr. 10).

Ked je lokálna riadiaca sila zmršťovania väčšia ako priemerná, potom sa môžu oklasti, len slabo spojené niekoľkými kríčkami, oddeliť. Čahové napätie potrebné a spôsobujúce túto separáciu sa dá vyjadriť:

$$\sigma_t = (\bar{n} - n) \gamma dA' , \quad (10)$$

$\bar{n}$  – priemerná hustota kríčkov pre celú sústavu náhodne usporiadaných častic,

$n$  — hustota kŕčkov v nejakej oblasti, vyššia než  $\bar{n}$ ,  $\gamma$  — plošná hustota povrchovej energie,  $dA'$  — zmena povrchu pri vzniku jedného kŕčku

Na obr. 11 je vidieť, že došlo k úplnej separácii veľkého aglomerátu v dôsledku rozdielnej rýchlosťi zmršťovania v porovnaní s okolitým matrixom. Výsledkom nemusí byť vždy úplná separácia, ale hutné oblasti môžu byť od seba oddelené pôrovitými (obr. 12).

V prípade, že východzí prášok je homogénny, bez výskytu väčších aglomerátov, potom je aj vývoj mikroštruktúry v procese slinovania homogénny a výsledkom je hutný produkt s nízkou pôrovitostou (obr. 13).

## ZÁVER

Slinovanie všeobecne, ako aj špeciálne slinovanie MgO zahrňuje veľmi širokú problematiku. Samotná kinetika procesu je ovplyvnená toľkými faktormi, že jej kvantitatívne spracovanie je veľmi obtiažne. Bez poznania takých parametrov, ako je presná definícia prímesí a ich lokalizácia, distribúcia veľkosti častíc prášku a zloženie okolitej plynnej fázy, nie je prakticky možné vyvodíť z experimentálnych výsledkov zodpovedajúce závery.

Konečná pôrovitosť slinutej magnézie je významne ovplyvnená vývojom mikroštruktúry v procese slinovania. Ten závisí od morfologických znakov východzieho prášku. Je potrebné aby východzí prášok MgO bol homogénny, s nízkym stupňom aglomerácie častíc, ktoré musia mať dostatočne malé rozmer, aby si materiál zachoval vysokú aktívnosť.

## Literatúra

- [1] Kuczynski G. C.: Trans. AIME 185, 169 (1949).
- [2] Kingery W. D., Berg M.: J. Appl. Phys. 26, 1205 (1955).
- [3] Coble R. L.: J. Appl. Phys. 32, 793 (1961).
- [4] Kuczynski G. C.: Science of Sintering 9, 3, (1977).
- [5] Rosolowski J. H., Greskovich C.: Jour. Am. Cer. Soc. 54, 55 (1971).
- [6] Wermuth F. R., Knapp W. J.: Jour. Am. Cer. Soc. 56, 401 (1973).
- [7] Oishi Y., Kingery W. D.: J. Chem. Phys. 33, 480 (1960).
- [8] Brown R. A.: Am. Cer. Soc. Bull. 44, 6 (1965).
- [9] Reeve K. D., Clare T. E.: Jour. Am. Cer. Soc. 49, 7 (1966).
- [10] Harding B. C., Price D. M.: Phil. Mag. 26, 253 (1972).
- [11] Wong B., Pask J. A.: Jour. Am. Cer. Soc. 62, 141 (1979).
- [12] Havíř M., Figusch V., Pánek Z.: Silikáty 29, 21 (1985).
- [13] Narayan J., Washburn J.: Acta Met. 21, 533 (1973),
- [14] Gauthier M.: J. Sol. St. Chem. 9, 15 (1974).
- [15] Berežnoj A. S.: *Mnogokomponentnyje sistemy okislov*, Naukova dumka 1970.
- [16] Kingery W. D.: Jour. Am. Cer. Soc. 57, 1 a 2 (1974).
- [17] Reynen P.: *Reactivity of Solids* (red. Mitchell J. W.), New York 1969.
- [18] Frenkel J.: *Kinetic Theory of Liquids*, McGraw-Hill, New York 1946.
- [19] Lehovec K.: Jour. Chem. Phys. 21, 1123 (1953),
- [20] Smith C. S.: Trans. AIME 175, 15 (1948).
- [21] Hamano K.: Report of the Research Laboratories for Engineering Materials (Tokyo Inst. of Technology), Tokyo 1979.
- [22] Green J.: Jour. of Materials Science 18, 637 (1983).
- [23] Nelson J. W., Cutler J. B.: Jour. Am. Cer. Soc. 41 406 (1958).
- [24] Kriek H. J. S., Ford W. F., White J.: Trans. Brit. Cer. Soc. 58, 1 (1959).
- [25] Guilliat J. F., Brett N. H.: J. Chem. Soc. Faraday Trans. 68, 429 (1972).
- [26] Layden G. K., McQuarrie M. C.: Jour. Am. Cer. Soc. 42, 89 (1959).
- [27] Budnikov P. P.: DAN SSSR 138, 2 (1961).
- [28] Reynen P.: Mater. Sci. Res. 13, 368 (1980).

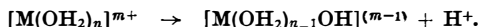
- [29] Figusch V., Haviar M., Pánek Z.: Správa z úlohy ŠPZV IV-4-1/02, ČAnCH CCHV SAV, Bratislava 1983.
- [30] Takayasu Ikegami: Jour. Am. Cer. Soc. 57, 11 (1974).
- [31] Kapadia G. M., Leipold M. H.: *Surfaces and Interfaces Glass and Ceram.*, Plenum Press, New York, London 1974.
- [32] Eastman P. F., Cutler I. B.: Jour. Am. Cer. Soc. 49, 10 (1966).
- [33] White J.: Jour. Austral. Cer. Soc. 2, 60 (1973).
- [34] Shelley R. D., Nicholson P. S.: Jour. Am. Cer. Soc. 54, 365 (1971).
- [35] Ito Tomoyasu, Tokuda Taneki: J. Chem. Soc. Jap. 2, 248 (1974).
- [36] Palčo Š.: Kandidátska práca VÚHK Bratislava 1979.
- [37] Palčo Š., Staroň J., Lacová M.: Výskumná správa, VÚHK Bratislava 1985.
- [38] Onoda G. Y., Hench L. L.: *Ceramic processing before firing*, A Wiley—Interscience Publication, John Wiley and Sons, New York 1978.
- [39] Norton: *Kinetics of high temperature processes*, (red. W. D. Kingery) New York 1959.
- [40] Mansour N. A. L.: Ceramurgia Int. 2, 2 (1976).
- [41] Berežnoj A. S.: Trudy 3-go sovešč. po ogneupornym materialam, Izv. AN SSSR 1947.
- [42] Badijan E. E., Pirogov J. A.: Neorgan. materialy 11, 3, (1975).
- [43] Librant Z., Pampuch R.: Jour. Am. Cer. Soc. 51, 109 (1968).
- [44] Pampuch R., Tomaszewski H., Haberko K.: Ceramurgia Int. 1, 2 (1975).
- [45] Pampuch R., Librant Z., Piekarczyk J.: Ceramurgia Int. 1, 1 (1975).
- [46] Dequenne J., Duvigneaud P. H.: Bull. Soc. Franc. Ceram. 100, 77 (1973).
- [47] Rhodes W. H., Wuensch B. J.: Jour. Am. Cer. Soc. 56, 495 (1973),
- [48] Staroň J., Eichner A.: Silikáty 22, 179 (1978).
- [49] Staroň J., Palčo Š.: Silikattechnik 33, 323 (1982).
- [50] Phillippe V. A., Opperhauser H., molbe J. L.: Jour. Am. Cer. Soc. 61, 75 (1978).
- [51] Evans A. G.: Jour. Am. Cer. Soc. 65, 497 (1982).
- [52] Petzow G., Exner H. E.: Z. für Metallkunde 67, 611 (1976).
- [53] Lange F. F.: Jour. Am. Cer. Soc. 67, 83 (1984).
- [54] Varela J. A., Whittemore D. J.: Jour. Am. Cer. Soc. 66 77 (1983).
- [55] Kingery W. D., Francois B.: *Sintering and related phenomena*, (red. Kuczynski G. C.) New York 1967.
- [56] Kingery W. D.: *Ceramic processing before firing*, John Wiley and Sons, New York 1978.

## Konference

Informace o sekci II — „CHEMIE POVRCHU A KATALÝZA JÍLOVÝCH MINE-RÁLŮ“ na 6. EUROCLAY v Seville, 7. – 10. 9. 1987.

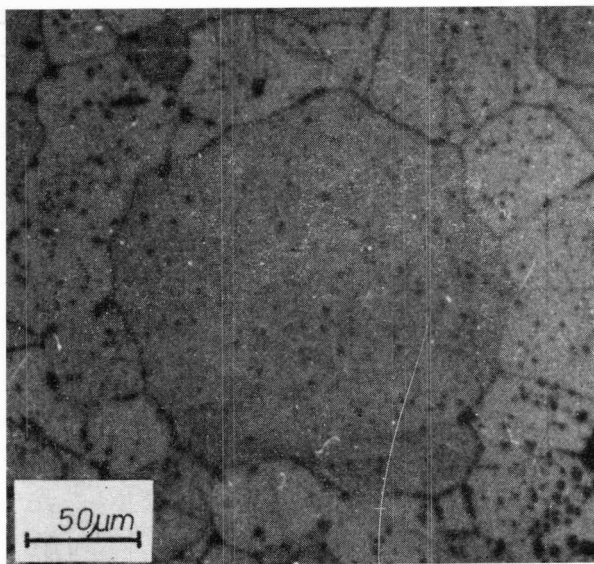
Katalyzátory na bázi montmorillonitu a jiných jílových minerálů jsou užívány v laboratořích i v průmyslových provozech. Slouží při četných syntézách nebo rozkladech již několik desítek let, jako např. při průmyslové dimerizaci nenasycených mastných kyselin (Newton, 1984) nebo při laboratorní syntéze  $\alpha$ ,  $\beta$ -nenasycených aldehydů (Fishman et al., 1981). Většina reakcí je katalyzována pomocí montmorillonitů s určitými výměnnými kationty nebo po aktivaci kyselinou.

Lewisova aktivita pochází z hlinitých nebo železem bohatých montmorillonitů a působí na hranách krystalů. Brenstedova aktivita pochází buď z volné kyseliny, což platí pro některé jíly aktivované kyselinou, nebo z disociace mezi vlastivstevních molekul vody, koordinovaných k polarizujícím mezi vlastivstevním výměnným kationtům (Adams, 1987). Různí autoři ukázali, že kyselost způsobená tímto druhým způsobem vzniká při nízkých obsazích vody a zvětšuje se při užití mezi vlastivstevních kationtů o vysokém náboji a malém poloměru. K nim patří zejména  $\text{Al}^{3+}$ ,  $\text{Fe}^{3+}$  nebo  $\text{Cr}^{3+}$  (=M). Proton se uvolňuje podle vztahu (Adams, 1987)

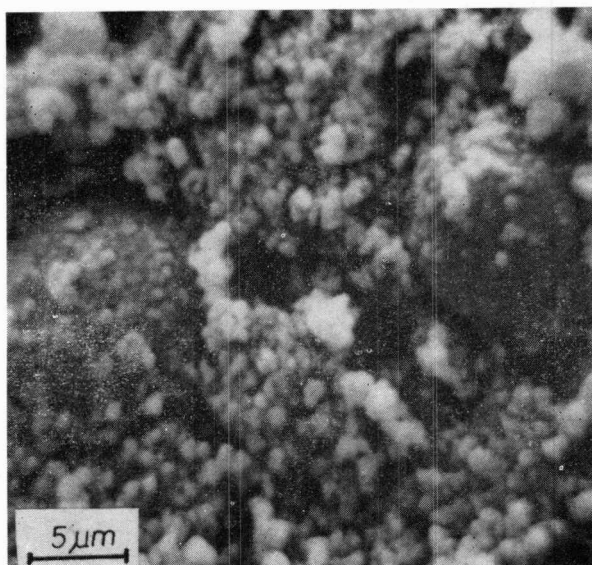


Uvolněný proton je okamžitě přitažen k jakékoliv volné molekule vody nebo organické sloučeniny v mezi vlastivstevním prostoru a je zde k dispozici pro další reakci. Weiss (1981) předpokládá, že koncentrace vodíkových iontů mezi strukturními vrstvami jílových minerálů může dosáhnout hodnoty až 10 molů  $\text{dm}^{-3}$ .

II. sekce 6. konference evropských skupin pro výzkum jílové hmoty (6. EUROCLAY) byla zahájena úvodní přednáškou Prof. G. Lagalyho (1987) (Institut für anorganische Chemie, Universität Kiel, Olshausenstr. 40, Kiel, NSR) na téma „Chemie povrchu a katalýza“. Autor nejprve

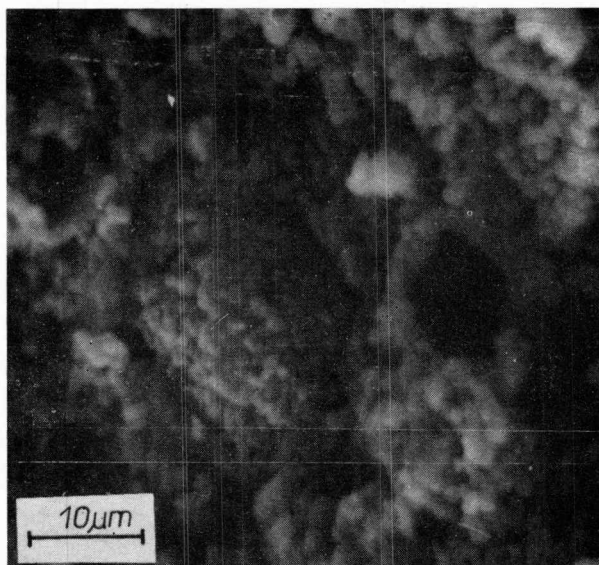


Obr. 1. Typický príklad diskontinuálneho rastu zrna v MgO (SEM).

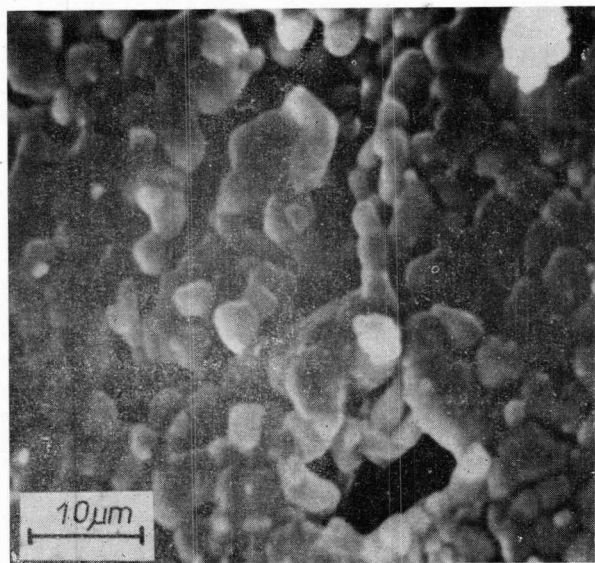


Obr. 7. Počiatok separácie veľkých gulovitých aglomerátov v MgO (SEM).

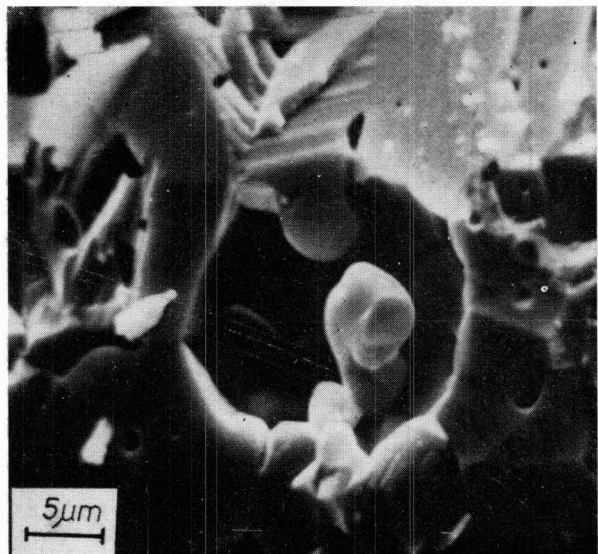
Š. Palčo:



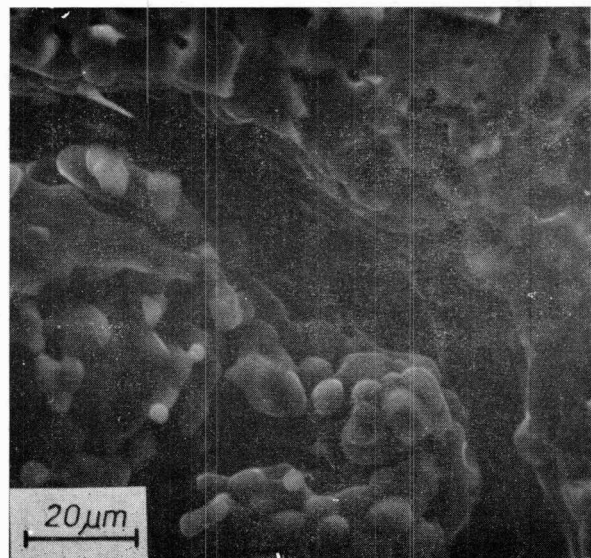
Obr. 8. Vznik pórov s vysokým koordinačným číslom v počiatočnom štádiu slinovania MgO (SEM).



Obr. 9. Vznik pórov s vysokým koordinačným číslom v prechodnom štádiu procesu slinovania MgO. (SEM).

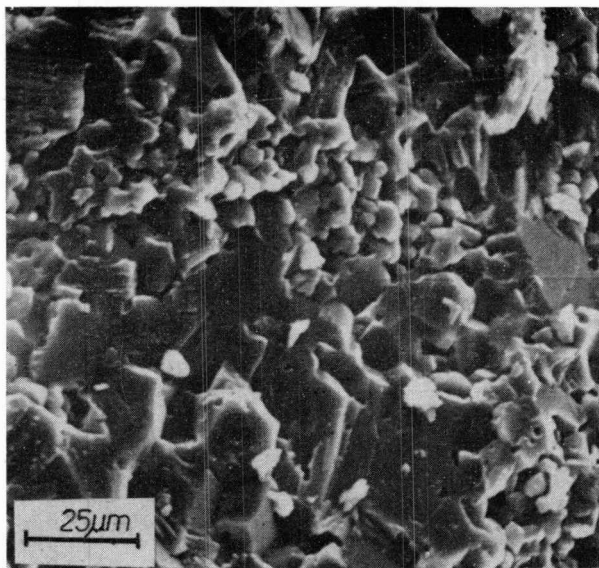


Obr. 10. Veľký pór v MgO po slinovaní (SEM).

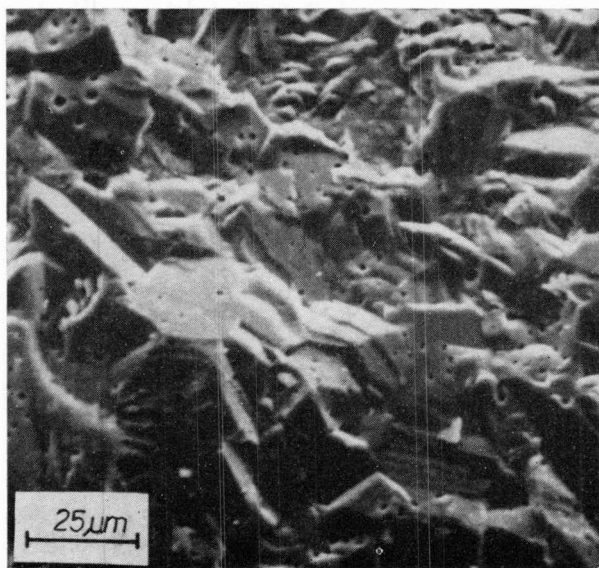


Obr. 11. Úplná separácia veľkého aglomerátu v slinutom MgO (SEM).

Š. Palčo:



Obr. 12. Hutné oblasti v slinutom MgO oddelené pórovitými (SEM).



Obr. 13. Homogénna mikroštruktúra v slinutom MgO, bez veľkých pôrov (SEM).